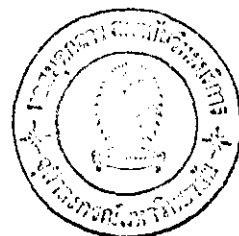


บทที่ 2  
หลักการและการศึกษาที่ผ่านมา



2.1 ลักษณะของการกัดเซาะ

ลักษณะของการกัดเซาะแบ่งออกได้เป็น 3 ประเภทดังนี้

2.1.1 การกัดเซาะตามพื้นผิว ( general scour ) การกัดเซาะประเภทนี้มักจะเกิดขึ้นตามลำน้ำธรรมชาติ จะเกิดการกัดเซาะทั่วไปตามผิวลำน้ำไม่ว่าจะมีโครงสร้างขวางลำน้ำหรือไม่ก็ตาม ซึ่งอาจจะเกิดการเปลี่ยนแปลงตามธรรมชาติ ได้แก่ เงื่อนไขการไหล ( flow condition ) ,สภาพลำน้ำหรือสภาพทางภูมิศาสตร์ ทำให้เกิดขบวนการการพัดพาวัสดุท้องน้ำ ( bed material ) เกิดการเปลี่ยนแปลงรูปแบบท้องน้ำ ( bed form ) และการเปลี่ยนแปลงระดับพื้นท้องน้ำไปจากเดิม อาจจะมีทับถมหรือกัดเซาะ ( Aggradation or Degradation )

2.1.2 การกัดเซาะเนื่องจากการบีบตัวของลำน้ำ ( constriction scour ) เมื่อมีสิ่งกีดขวางลำน้ำ เช่น ตอม่อสะพานขวางลำน้ำ ทำให้หน้าตัดการไหลของลำน้ำลดลงและนำไปสู่การเปลี่ยนแปลงความเร็วการไหลและการยกกระแสน้ำด้านหน้าตอม่อ ซึ่งเป็นการเพิ่มความเร็วการไหลผ่านช่องเปิดสะพาน ความเร็วการไหลที่เพิ่มขึ้นสามารถทำให้เกิดการกัดเซาะได้ การกัดเซาะจะเพิ่มมากขึ้นบริเวณพื้นที่ที่มีโครงสร้างขวางลำน้ำ สิ่งกีดขวางที่มีขนาดใหญ่มีผลต่อความสัมพันธ์การไหลกับความกว้างของลำน้ำ ยิ่งทางน้ำบีบตัวลงมากเท่าใดก็ยิ่งทำให้เกิดการกัดเซาะมากยิ่งขึ้น

2.1.3 การกัดเซาะเฉพาะแห่ง ( local scour ) การกัดเซาะเฉพาะแห่งเป็นการกัดเซาะรอบๆสิ่งกีดขวาง สิ่งกีดขวางมีผลทำให้เกิดการเปลี่ยนแปลงรูปแบบการไหล ทำให้เกิดพื้นที่เล็กๆรอบสิ่งกีดขวางและเกิดการไหล 3 มิติ ซึ่งเป็นการไหลแบบหมุนวน ความลึกทั้งหมดของการกัดเซาะต้องใช้ระยะเวลาเป็นผลรวมทุกๆไปของความลึกการกัดเซาะ เนื่องจากทางน้ำแคบลงจนเกิดการกัดเซาะเฉพาะแห่ง

การกัดเซาะเฉพาะแห่งที่รอบตอม่อสะพานยังสามารถแบ่งออกได้เป็น 3 กรณี คือ

(1) การกัดเซาะคงที่ ( stable scour ) กรณีนี้วัสดุแขวนลอยที่ถูกพัดมาตามกระแสน้ำจากที่อื่นเข้าไปในหลุมกัดเซาะมีปริมาณเท่ากับวัสดุแขวนลอยที่ถูกพัดออกจากหลุมกัดเซาะ ฉะนั้น ระดับความลึกจะคงที่ไปตลอด นั่นคือ

$$q_{out} = q_{in} \quad (2.1)$$

(2) การกัดเซาะเนื่องจากภาวะที่ไม่มีการเคลื่อนที่ของตะกอนท้องน้ำ ( clear-water scour ) ความหมายของการกัดเซาะกรณีนี้คือแรงเค้นเฉือนที่ท้องน้ำจากพื้นที่การกัดเซาะน้อยกว่าแรงเฉือนวิกฤติ (  $\tau_c$  ) ที่ต้องการสำหรับการเคลื่อนที่ของวัสดุท้องน้ำและวัสดุท้องน้ำได้เคลื่อนที่บริเวณใกล้เคียงกับตอม่อเท่านั้น ซึ่งแรงเค้นเฉือนที่ชั้นขอบเขตมากกว่าแรงเค้นเฉือนวิกฤติ วัสดุท้องน้ำด้านเหนือน้ำของพื้นที่การกัดเซาะจะยังคงเหมือนเดิมและไม่มีวัสดุท้องน้ำเคลื่อนที่เข้ามาแทนที่หลุมกัดเซาะซึ่งได้ถูกกัดเซาะไปแล้ว ขบวนการกัดเซาะได้เกิดขึ้นอย่างต่อเนื่องจนกระทั่งแรงเค้นเฉือนที่ชั้นขอบเขตในหลุมกัดเซาะลดต่ำกว่าแรงเค้นเฉือนวิกฤติ ซึ่งการไหลสม่ำเสมอเป็นเงื่อนไขการไหลต่ำกว่าวิกฤติจะทำให้เกิดความลึกการกัดเซาะสูงสุด การกัดเซาะจะเกิดขึ้นเป็นระยะเวลาจนกระทั่งความลึกกัดเซาะเข้าสู่ภาวะสมดุล นั่นคือ

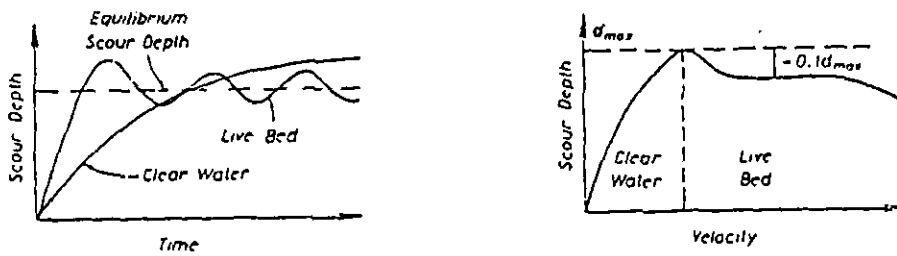
$$q'_{out} > 0, q'_{in} = 0 \tag{2.2}$$

(3) การกัดเซาะเนื่องจากมีการเคลื่อนที่ของตะกอนท้องน้ำ ( live-bed scour ) เกิดจากการเคลื่อนที่ของตะกอน ความลึกกัดเซาะเฉพาะแห่งได้เกิดขึ้นอย่างรวดเร็วและเป็นไปตามการขึ้นลงของความลึกการกัดเซาะสมดุล สภาวะการเคลื่อนที่เข้าสู่สมดุลเมื่อเวลาในการไหลเข้าของตะกอนทางด้านหน้าของหลุมกัดเซาะเข้าสู่หลุมกัดเซาะเท่ากับปริมาตรตะกอนออกจากหลุมกัดเซาะ รูปลักษณะท้องน้ำ ( ท้องน้ำธรรมชาติไม่แน่นอน ) ตลอดจนหลุมกัดเซาะเป็นเหตุให้เกิดการเปลี่ยนแปลงความลึกของหลุมกัดเซาะและเวลาเฉลี่ยมีความสัมพันธ์กับความลึกการกัดเซาะ เช่น ความลึกกัดเซาะเฉลี่ย , ความลึกกัดเซาะสูงสุด

$$q'_{out} > q'_{in} > 0 \tag{2.3}$$

ในการศึกษาคุณลักษณะของปรากฏการณ์การกัดเซาะเฉพาะแห่ง จะแบ่งการกัดเซาะเนื่องจากภาวะที่ไม่มีการเคลื่อนที่ของตะกอนท้องน้ำกับภาวะที่มีการเคลื่อนที่ของตะกอนท้องน้ำอย่างชัดเจน การประเมินการกัดเซาะจะสัมพันธ์กับเวลาและการเข้าสู่สภาวะสมดุลของหลุมกัดเซาะจะเป็นความสัมพันธ์ระหว่างความลึกการกัดเซาะและความเร็วการไหล

ความลึกการกัดเซาะเนื่องจากภาวะที่ไม่มีการเคลื่อนที่ของตะกอนท้องน้ำกับความสัมพันธ์  $\frac{\tau_c}{\tau''} \approx 1$  อาจจะพิจารณาเงื่อนไขใกล้ท้องน้ำของหลุมกัดเซาะ สำหรับกรณีความลึกการกัดเซาะสูงสุด เนื่องจากภาวะที่ไม่มีการเคลื่อนที่ของตะกอนท้องน้ำโดยทั่วไปลึกมากกว่า 10 % ของการกัดเซาะเนื่องจากภาวะที่มีการเคลื่อนที่ของตะกอนท้องน้ำ ดังรูปที่ 2-1



ก. ความลึกกัดเซาะสัมพันธ์กับเวลา

ข. ความลึกกัดเซาะสัมพันธ์กับความเร็ว

รูป 2-1 ความลึกการกัดเซาะที่สัมพันธ์กับตอม่อและขนาดตะกอน

2.2 ปรัชการณการกัดเซาะ สามารถแบ่งออกเป็น 3 ขั้นตอน คือ

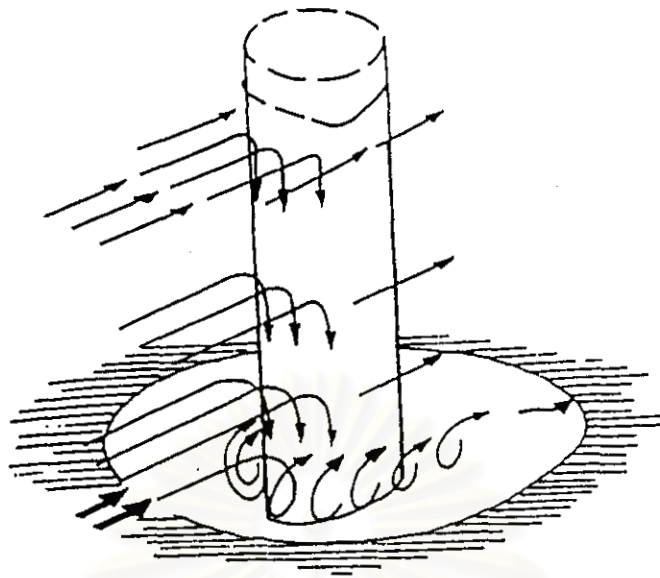
2.2.1 ขั้นเริ่มแรก ( initial phase ) จะปรากฏหลุมเล็กๆบนผิวราบเรียบของท้องน้ำ สามารถมองเห็นได้ชัดเจน และความลึกหลุมกัดเซาะจะเพิ่มขึ้นอย่างรวดเร็ว

2.2.2 ขั้นสมดุล ( equilibrium scour depth ) ในขั้นนี้ความลึกจะเข้าใกล้สภาวะสมดุลคือมีการกัดเซาะที่มีการทับถมของเม็ดตะกอนเข้าสู่หลุมกัดเซาะ อัตราการกัดเซาะจึงลดลงและเข้าสู่สภาวะที่เกือบจะคงที่ ให้ค่าความลึกการกัดเซาะสูงสุดชั่วคราว

2.2.3 ขั้นสูงสุด ( maximum scour depth ) หลุมกัดเซาะจะทรงตัวอยู่ในขั้นสภาวะสมดุลจนถึงเงื่อนไขหนึ่ง จึงจะมีการกัดเซาะต่อและถึงจุดความลึกกัดเซาะสูงสุดหรือเกิดเงื่อนไขที่ต้องยุติการกัดเซาะ ค่าความลึกสมดุลก็จะเป็นค่าความลึกการกัดเซาะสูงสุด

2.3 กลศาสตร์การกัดเซาะ ( Mechanics of Scour )

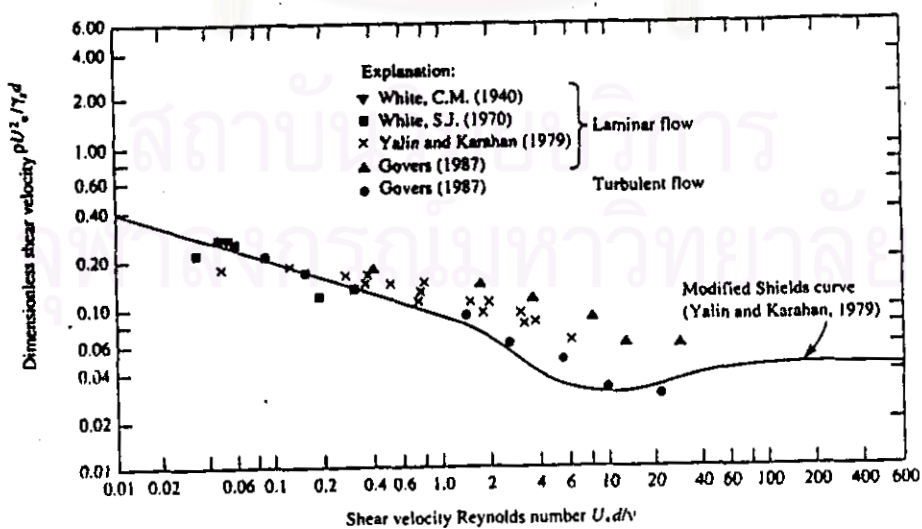
การกัดเซาะรอบตอม่อสะพานเป็นผลมาจากการไหลแบบหมุนวน ( vortex system ) ซึ่งได้เกิดขึ้นเนื่องจากการไหลเกิดการเบี่ยงเบนรอบๆตอม่อ การไหลหมุนวนจะช่วยสนับสนุนให้เกิดการกัดเซาะที่สันตอม่อด้านเหนือน้ำ ซึ่งทิศทางการไหลจะไหลพุ่งลงข้างล่างและเป็นส่วนสำคัญที่ทำให้ทิศทางการไหลวกกลับในแนวราบที่ท้องน้ำ วัสดุท้องน้ำจะเคลื่อนที่โดยการไหลลึกลงภายในหลุมกัดเซาะโดยหมุนวนรอบด้านข้างตอม่อในแนวราบ การไหลหมุนวนจะเป็นรูปเกือบม้า ดังรูป 2-2



รูป 2-2 การเกิด Horseshoe Vortex ที่ต่อมอรูปทรงกระบอก

ความลึกการกัดเซาะที่เงื่อนไขสมดุคมักจะเกิดขึ้นระหว่างรอยต่อสภาวะเงื่อนไข clear-water และสภาวะเงื่อนไข live-bed เมื่อความเร็วใกล้หลุมกัดเซาะเท่ากับ  $U_c$  ความเร็ววิกฤติเฉลี่ยสำหรับการเริ่มต้นการเคลื่อนที่

การหาความเร็วเฉือนวิกฤติ ( shear velocity ) ทั้งสภาวะเงื่อนไข clear-water และ สภาวะเงื่อนไข live-bed สามารถหาได้จากรูป 2-3



รูป 2-3 Modified Shield's Diagram(GOVERS ,1987)

จากรูปแสดงความสัมพันธ์ระหว่างฟังก์ชันของความเร็วเฉือน และ ค่าเรย์โนลด์นัมเบอร์ของอนุภาค ( Particle Reynold Number ) ซึ่งคิดค้นโดย Sheild และต่อมาได้รับการปรับปรุงโดย Yalin กับ Kalahan ( 1979 ) และ Govers ( 1987 ) ได้แนะนำรูป 2 - 3 เนื่องจากได้รับการปรับปรุงแล้ว โดยเงื่อนไข clear-water จุดจะตกอยู่ใต้เส้นทึบ และเงื่อนไข Live-bed จุดจะตกอยู่เหนือเส้นทึบ ซึ่งเส้นดังกล่าว คือเส้น Threshold of Movement

ฟังก์ชันความเร็วเฉือน ( U ) กำหนดโดยความสัมพันธ์

$$\frac{d}{v} \left[ 0.1 \left( \frac{\gamma_s}{\gamma} - 1 \right) g d \right]^{1/2} \quad (2.4)$$

เมื่อ d คือ ขนาดเฉลี่ยของวัสดุท้องน้ำ ; v คือ ความหนืดของของไหล ;  $\gamma_s$  และ  $\gamma$  คือน้ำหนักจำเพาะของวัสดุท้องน้ำและน้ำตามลำดับ ; g คือแรงโน้มถ่วงของโลก

สำหรับทางน้ำกว้าง : 
$$F = \frac{\rho U_*^2}{\gamma_s d} \quad (2.5)$$

เมื่อ F คือ ฟังก์ชันของความเร็วเฉือน ;  $\rho$  คือความหนาแน่นของน้ำ ;  $U_*$  คือความเร็วเฉือน ( shear velocity ) ;

ค่า Reynold number ของอนุภาค , R

$$R = \frac{U_* d}{\nu} \quad (2.6)$$

สำหรับทางน้ำกว้าง : 
$$R = \frac{d \sqrt{(2\gamma S)}}{\nu} \quad (2.7)$$

เมื่อ R คือค่าเรย์โนลด์นัมเบอร์ ;  $\nu$  คือ ความลึกการไหลของน้ำ ; S คือความลาดชันพลังงาน

## 2.4 องค์ประกอบที่มีผลต่อการกัดเซาะเฉพาะแห่ง ( Factors Affecting Local Scour )

### 2.4.1 ลักษณะของตอม่อ ( Pier Characteristics )

- ความกว้างของตอม่อ ( width of piers ) มีผลกระทบโดยตรงต่อหลุมกัดเซาะ การเพิ่มความกว้างของตอม่อจะมีผลทำให้ความลึกการกัดเซาะเพิ่มขึ้น
- ความยาวของตอม่อ ( length of piers ) ไม่ค่อยจะมีผลกระทบต่อความลึกการกัดเซาะ ถ้าตอม่อวางแนวทางเดียวกับทิศทางการไหล และถ้าทิศทางการไหลทำมุมปะทะกับตอม่อความยาวตอ

ม่อมากยิ่งขึ้นผลกระทบมาก ที่มุมปะทะเดียวกันความยาวตอม่อเพิ่มขึ้น 2 เท่า จะทำให้ความลึกหลุมกัดเซาะเพิ่มประมาณ 33%

- รูปร่างของตอม่อ ( shape of piers ) มีความสำคัญต่อการกัดเซาะที่ด้านหน้าตอม่อ เพื่อเป็นการลดความแรงของ Horseshoe Vortex ลดความลึกการกัดเซาะ ทางด้านท้ายของตอม่อจะเป็นการลดความแรงของ Wake Vortex ตอม่อที่มีสันสี่เหลี่ยมจะมีความลึกการกัดเซาะสูงสุดประมาณ 20% ซึ่งมากกว่าตอม่อสันกลม และ มากกว่าตอม่อรูปทรงกระบอกหรือตอม่อสันมน 10 %

#### 2.4.2 ลักษณะของการไหล

- ความลึกการไหล ( depth of flow ) มีผลกระทบโดยตรงกับความลึกหลุมกัดเซาะการเพิ่มความลึกการไหลสามารถเพิ่มความลึกการกัดเซาะรอบตอม่อและ Abutment
- ความเร็วการไหล ( velocity of approach flow ) ความเร็วยิ่งมากความลึกการกัดเซาะก็ยิ่งมาก ที่การไหลต่ำกว่าวิกฤติหรือสูงกว่าวิกฤติจะมีผลกระทบต่อความลึกการกัดเซาะ
- มุมของการไหลที่ปะทะตอม่อ ( angle of attack of the approach flow to the piers ) มีผลกระทบอย่างมากต่อความลึกการกัดเซาะ ในกรณีที่ตอม่อมีลักษณะเป็นรูปสี่เหลี่ยมผืนผ้า แต่ในการศึกษานี้สนใจระยะห่างระหว่างตอม่อว่ามีผลกระทบต่อ การกัดเซาะอย่างไร เมื่อวางตอม่อท่ามุมกับแนวทิศทางการไหล

#### 2.4.3 ลักษณะของวัสดุท้องน้ำ ( Bed Material Characteristics )

- ขนาดของวัสดุท้องน้ำ ( size of the bed material ) ขนาดของท้องน้ำที่ละเอียด (แป้งหรือดินเหนียว) จะมีความลึกกัดเซาะลึกกว่าท้องน้ำที่เป็นทราย ผลกระทบของแรงเชื่อมแน่นซึ่งสัมพันธ์กับเวลาที่เข้าใกล้ความลึกกัดเซาะสูงสุด ความลึกกัดเซาะสูงสุดที่มีทรายเป็นท้องน้ำจะใช้เวลาเป็นชั่วโมง แต่ถ้าวัสดุท้องน้ำเป็น cohesive soil อาจจะต้องใช้เวลาเป็นวัน เดือน หรือ เป็นปีที่จะเข้าสู่ความลึกกัดเซาะสูงสุด
- ลักษณะสันฐานของตะกอน ( bed form ) ในลำน้ำที่มีทรายเป็นวัสดุท้องน้ำ ลักษณะของท้องน้ำอาจจะเป็น ripples dunes plane bed และ antidunes ซึ่งขึ้นอยู่กับการกระจายขนาดของทรายท้องน้ำ เหนือไขการไหลและความหนืดการไหล ( fluid viscosity ) ลักษณะของท้องน้ำอาจเปลี่ยนจาก dunes เป็น plane bed หรือ antidunes ระหว่างการเพิ่มการไหลลักษณะท้องน้ำอาจจะเปลี่ยนอุณหภูมิของน้ำหรือเปลี่ยนความเข้มข้นของ silt และ clay ลักษณะท้องน้ำจะมีผลกระทบต่อความเร็วการไหล การพัดพาตะกอนและการกัดเซาะ

## 2.5 การพิจารณาความสัมพันธ์ของตัวแปรต่างๆ

ปรากฏการณ์การกัดเซาะรอบตอม่อเกิดจากการเปลี่ยนแปลงทิศทางการไหลของกระแสน้ำ ทำให้กระแสน้ำเบี่ยงเบนรอบ ๆ ตอม่อ เกิดกระแสน้ำหมุนวน และเกิดขบวนการเคลื่อนที่ของวัสดุท้องน้ำ ซึ่งมีลักษณะเป็น 3 มิติ ที่มีความยุ่งยากสลับซับซ้อน

ความลึกหลุมกัดเซาะรอบตอม่อ ( $d_s$ ) ขึ้นอยู่กับ คุณสมบัติของน้ำ สภาพการไหล วัสดุท้องน้ำ รูปร่างตอม่อ ระยะห่างระหว่างตอม่อ และมุมการไหลที่ปะทะตอม่อ เมื่อพิจารณาตัวแปรหลักที่สำคัญทั้งหมด 9 ตัวแปร สามารถเขียนสัมพันธ์ระหว่างตัวแปรต่างๆ ได้ดังนี้

$$d_s = f(g, \rho, \mu, v, y, d_{50}, L, D, \dots) \quad (2.8)$$

เมื่อ  $d_s$  คือความลึกหลุมกัดเซาะสมมูล ;  $g$  คือ แรงโน้มถ่วงของโลก ;  $\rho$  คือ ความหนาแน่นของน้ำ ;  $\mu$  คือ ความหนืดพลศาสตร์ของน้ำ ;  $v$  คือ ความเร็วเฉลี่ยการไหลเข้าใกล้ตอม่อ ;  $y$  คือความลึกการไหล ;  $d_{50}$  คือขนาดเฉลี่ยของวัสดุท้องน้ำที่มีขนาดเล็กกว่าจนถึง 50 % โดยน้ำหนัก (The median diameter is the size of sediment for which 50% of the sample is finer.) ;  $L$  คือ ระยะห่างระหว่างตอม่อ ;  $D$  คือเส้นผ่านศูนย์กลางของตอม่อ

การกัดเซาะรอบตอม่อเกี่ยวข้องกับหน่วยพื้นฐาน 3 หน่วย คือ มวล (mass) ความยาว (length) และ เวลา (time) ดังนั้นตัวแปรอิสระ 9 ตัว สามารถลดรูปเป็นกลุ่มตัวแปรไร้มิติได้ 3 กลุ่มตามทฤษฎีวิเคราะห์มิติ (dimensional analysis) โดยใช้ตัวแปร  $\rho, g$  และ  $y$  เป็นตัวแปรซ้ำ จะสามารถเขียนนฟังก์ชันอธิบายความสัมพันธ์ความลึกการกัดเซาะในรูปกลุ่มตัวแปรไร้มิติ (dimensionless parameter) ได้ดังนี้

$$\frac{d_s}{y} = \Phi \left[ \frac{v^2}{gy}, \frac{vy}{v}, \frac{y}{d_{50}}, \frac{y}{L}, \frac{y}{D} \right] \quad (2.9)$$

ซึ่งกลุ่มตัวแปรเหล่านี้ใช้เป็นแนวทางในการอธิบายความสัมพันธ์ของรูปแบบหลุมกัดเซาะ พฤติกรรมการไหลของน้ำ และลักษณะของตะกอนท้องน้ำในการศึกษานี้

## 2.6 การศึกษาที่ผ่านมา

การศึกษาค้นคว้าเรื่องที่เกี่ยวข้องกับการกัดเซาะรอบตอม่อสะพานในท้องปฏิบัติการ โดยการทดลองในรางน้ำมีรายละเอียดดังนี้

Lacey (1929 อ้างถึงใน Chen, 1980:3) ได้เสนอสมการเบื้องต้นสำหรับทำนายความลึกการกัดเซาะ Lacey ได้ แนะนำว่าความลึกการกัดเซาะสูงสุด ( $d_{sm}$ ) ที่บริเวณสะพานและบริเวณพื้นที่อื่นที่คอดลง (constriction area) สามารถคำนวณจาก

$$d_{sm} = CR \quad (2.10)$$

เมื่อ  $d_{sm}$  คือความลึกกัดเซาะสูงสุด ;  $C$  ขึ้นอยู่กับพื้นที่รูปตัดขวางของแม่น้ำบริเวณสะพาน มีค่าอยู่ระหว่าง 1-2 ,  $R$  คือรัศมีชลศาสตร์ของรูปตัดขวาง (hydraulic radius)

Inglis , Thomas และ Joglekar (1939) ได้รายงานผลการศึกษาแบบจำลองที่คล้ายคลึงกันตามมาตรฐาน ซึ่งใช้สำหรับแบบจำลองตอม่อสะพาน มาตรฐาน 1/40 1/65 1/105 และ 1/200 โดยใช้ อัตราการไหลหลายๆค่า ตอม่อเดี่ยวถูกนำไปไว้ที่แนวศูนย์กลางของรางน้ำ ผังลงในทราย ซึ่งมีเส้นผ่านศูนย์กลางเฉลี่ย 0.29 มม. ทดลองโดยทำทรายห้องน้ำให้อยู่ในแนวราบเท่านั้น ในกรณีเริ่มแรกครั้งแรก ปล่องอัตราการไหลน้อยๆ ขณะที่อัตราการไหลมากขึ้นได้ทำการทดลองโดยไม่ปรับห้องน้ำ ไม่มีการหมุนวนของตะกอน ความลึกการกัดเซาะจะลึกที่สุดที่สันตอม่อด้านเหนือน้ำ ตามความสัมพันธ์ดังนี้

$$\frac{d_{sm}}{b} = 1.70 \left( \frac{q^{2/3}}{b} \right)^{0.78} \quad (2.11)$$

เมื่อ  $d_{sm}$  คือความลึกกัดเซาะสูงสุด ;  $b$  คือความกว้างของตอม่อ ,  $q$  คืออัตราการไหลต่อหน่วยความกว้าง ( cfs/ft ) ที่จุดศูนย์กลางของรางน้ำด้านเหนือน้ำของตอม่อ

Inglis ( 1949 อ้างถึงใน Raudkivi , 1976 : 289) ได้พัฒนาสูตร Inglis-Poona ดังนี้

$$\frac{d_{sm}}{y} = 4.19 Fr^{0.52} \left( \frac{L}{y} \right)^{0.22} - 1 \quad (2.12)$$



เมื่อ  $d_{sm}$  คือความลึกกัดเซาะสูงสุด ;  $y$  คือ ความลึกการไหล ;  $L$  คือ projected length และ  $Fr$  คือค่าฟรูดนัมเบอร์

Chitale ( 1941 อ้างถึงใน Raudkivi , 1976: 289 ) ได้ดำเนินการทดลอง ซึ่งมีวัตถุประสงค์เพื่อที่จะศึกษาอิทธิพลของการกัดเซาะทางด้านเหนือหน้าและขนาดของทรายต่อการกัดเซาะตอม่อ ตอม่อที่ใช้ในการทดลองเป็นรูปสี่เหลี่ยมผืนผ้าความยาว 0.925 ฟุต กว้าง 0.6 ฟุต และรูปทรงครึ่งวงกลม เพื่อจำลองรูปร่างตอม่อให้เหมือนจริง พื้นรางน้ำใส่ทรายขนาดเส้นผ่านศูนย์กลาง 0.32 มม. และแตกต่างกันอีก 4 ขนาดคือ เส้นผ่านศูนย์กลางเฉลี่ย 0.16 , 0.24 , 0.68 และ 1.51 มม. นำมาใช้รอบๆ ตอม่อ ให้อัตราการไหล  $q$  คงที่ = 1 ฟุต<sup>3</sup>/วินาที/ฟุต และความลึกของน้ำเปลี่ยนแปลงจาก 0.5 ฟุตถึง 1.45 ฟุต การทดลองนี้อยู่ภายใต้เงื่อนไขภาวะที่ไม่มีการเคลื่อนที่ของตะกอนท้องน้ำ แต่ผลการทดลองกระทำต่อเนื่องจนกระทั่งเกิดการกัดเซาะสูงสุดรอบๆตอม่อ ซึ่ง Chitale สรุปได้ดังนี้

1. การไหลตามแนวแกน ( axial flow ) ความลึกการกัดเซาะสูงสุดเกิดขึ้นที่สันตอม่อ การกัดเซาะที่ด้านข้างตอม่อจะน้อยกว่าที่สันตอม่อประมาณ 5-15 %

2. อัตราส่วนระหว่างความลึกกัดเซาะสูงสุดกับความลึกการไหลในรางน้ำ (  $\frac{S_{max}}{h}$  ) แสดงด้วยความสัมพันธ์อย่างง่ายของความเร็วใกล้หลุมกัดเซาะของรางน้ำ

3. ความสัมพันธ์ที่ได้จากการทดลองมีดังนี้

$$\frac{d_{ss}}{y} = -0.51 + 6.85Fr - 5.49 Fr^2 \quad (2.13)$$

เมื่อ  $d_{ss}$  คือความลึกกัดเซาะสมมูลภายใต้ท้องน้ำปกติ ,  $y$  คือความลึกของน้ำใกล้หลุมกัดเซาะ ,  $Fr$  คือฟรูดนัมเบอร์ของการไหลใกล้หลุมกัดเซาะ ( Froude Number,  $Fr = \frac{\bar{U}}{\sqrt{gy}}$  ) ,  $\bar{U}$  คือความเร็วเฉลี่ยของการไหลใกล้หลุมกัดเซาะ

Laurson ( 1954 อ้างถึง Raudkivi, 1976:290 ) ได้ศึกษามลกระทบของทางน้ำและลักษณะของวัสดุท้องน้ำต่อการกัดเซาะ Laurson พบว่า หลังจากเวลาผ่านไปจนกระทั่งการกัดเซาะเข้าสู่สมมูล ได้วัดค่าความลึกการกัดเซาะ ความลึกการกัดเซาะสมมูลไม่ขึ้นอยู่กับการไหลหรือขนาดวัสดุท้องน้ำ แต่การหาค่าโดยรูปทรงทางเรขาคณิตของตอม่อและความลึกการไหล อัตราการกัดเซาะระหว่างคาบเวลาที่กระทำขึ้นอยู่กับความเร็วการไหลและขนาดวัสดุท้องน้ำ

Laursen และ Toch ( 1954 อ้างถึง Raudkivi, 1976:290 ) ได้แนะนำเกณฑ์การออกแบบ สำหรับความลึกกัดเซาะสูงสุดของทางน้ำภายใต้ภาวะที่ไม่มีการเคลื่อนที่ของตะกอนท้องน้ำ ดังนี้

$$\frac{d_{sm}}{L} = 1.35 \left( \frac{L}{y} \right)^{0.7} \quad (2.14)$$

Garde et. al. ( 1961 อ้างถึงใน Chang, 1978:14 ) แสดงให้เห็นว่า ความลึกของการไหลมีผลกระทบน้อยมากต่อความลึกการกัดเซาะ Garde พบว่า ความเร็วของการไหลเป็นองค์ประกอบสำคัญมากกว่า แต่ไม่ได้แบ่งการกัดเซาะโดยภาวะที่ไม่มีการเคลื่อนที่ของตะกอนท้องน้ำและภาวะที่มีการเคลื่อนที่ของตะกอนท้องน้ำ

Laursen ( 1962 อ้างถึงใน Shen, 1980:5 ) ได้ศึกษาความสัมพันธ์สำหรับทำนายการกัดเซาะที่ ตอม่อและคอสะพาน สำหรับกรณีที่มีการพัดพาตะกอนเข้าสู่หลุมกัดเซาะ ( scour hole ) ความสัมพันธ์ ได้ถูกพัฒนาและวิเคราะห์ในห้องทดลอง และหลุมกัดเซาะขึ้นอยู่กับสภาพเงื่อนไขการไหล ความกว้าง ของหลุมกัดเซาะประมาณเท่ากับ 2.75 เท่าของความลึกการกัดเซาะ

Arunachalam ( 1965 อ้างถึงใน Raudkivi, 1976:301 ) ได้พัฒนาสมการการออกแบบ ซึ่งเป็น การรวมสมการของ Laursen Toch และ Lacey เข้าด้วยกันดังนี้

$$\frac{d_{sm}}{L} = \frac{y}{L} \left[ \frac{1.95}{\left( \frac{y}{L} \right)^{1/8}} - 1 \right] \quad (2.15)$$

Carstens ( 1966 ) ได้ทำการทดลองในรางน้ำกว้าง 0.80 ม. ยาว 21.0 ม. วางตอม่อ 3 อันที่กึ่ง กลางรางน้ำ ใช้ทรายแตกต่างกัน 4 ขนาดดังนี้ เส้นผ่านศูนย์กลางเฉลี่ย = 3.08 , 1.52 , 0.52 และ 0.26 มม. ใช้หลักการพัดพาของตะกอน สมการที่เกี่ยวข้องกับความลึกการกัดเซาะมีดังนี้

1. สมมติว่าอัตราการพัดพาตะกอนเป็นฟังก์ชันของอัตราการกระจายแรงบนอนุภาคตะกอน ( $\Sigma F_d$ ) ต่อแรงคงที่ ( $\Sigma F_g$ )

$$\text{เมื่อ } \Sigma F_d = \text{แรงดูดลาก ( drag force ) + แรงยกตัว ( lift force )}$$

$$= C_d k_1 d^2 \rho \frac{U^2}{2} + C_l k_1 d^2 \rho \frac{U^2}{2} \quad (2.16)$$

และ  $\Sigma F_s =$  น้ำหนักประสิทธิผลของอนุภาค

$$= (\gamma_s - \gamma_w) k_2 d^3$$

$$\text{ดังนั้น} \quad \frac{\Sigma F_d}{\Sigma F_s} = \frac{K_1 \sqrt{C_d^2 + C_l^2}}{K_2} \frac{U^2}{(S-1)gd} \quad (2.17)$$

$$= [f(\text{sediment grain geometry})] N_s^2$$

เมื่อ  $C_d$  คือสัมประสิทธิ์แรงขุดลากของอนุภาค (drag force coefficient),  $C_l$  คือสัมประสิทธิ์แรงยกตัวของอนุภาค (lift force coefficient),  $K_1$  คือแฟคเตอร์รูปร่างของอนุภาคตะกอน (พื้นที่),  $K_2$  คือแฟคเตอร์รูปร่างของอนุภาคตะกอน (ปริมาตร),  $d$  คือขนาดของอนุภาคตะกอน,  $\rho$  คือความหนาแน่นของของไหล และ  $\gamma_s, \gamma_w$  คือน้ำหนักจำเพาะของอนุภาคตะกอนและของไหล ตามลำดับ จากความสัมพันธ์ดังกล่าวจะได้

$$N_s = \frac{U}{\sqrt{(s-1)gd}} = \frac{U}{\sqrt{\Delta gD}} \quad (2.18)$$

เมื่อ  $N_s$  เป็นค่าพารามิเตอร์เรียกว่า เลขตะกอน (Sediment Number)

2. การศึกษาเส้นชั้นความลึกของหลุมกัดเซาะ, Carstens สมมุติว่า รูปร่างของหลุมกัดเซาะเป็นลักษณะของกรวยกลับหัว ซึ่งมีฐานเท่ากับความกว้างของตอม่อ (b) และมีความชันด้านข้างเท่ากับมุมเสถียรภาพของวัสดุท้องน้ำ ( $\phi$ ) และปริมาตรตะกอนหาได้จาก

$$Q_s = \frac{\pi}{3 \tan \phi} \left( \frac{S^3}{\tan \phi} + \frac{3bS^2}{2} \right) \quad (2.19)$$

เมื่อ  $S$  คือความลึกการกัดเซาะที่เวลา  $t$  ใดๆ

3. สำหรับเงื่อนไขการกัดเซาะสมดุล จะได้สมการความลึกการกัดเซาะดังนี้

$$\frac{d_{so}}{y} = 0.546 \left( \frac{N_s^2 - 1.25}{N_s - 5.02} \right)^{5/6} \quad (2.20)$$

Shen , Schneider , Karari ( 1966 ) และ Wang ( 1983 ) ได้เสนอสมการ การกัดเซาะโดย clear-water ดังนี้

$$\frac{d_{sm}}{L} \approx 2Fr^{0.43} \left( \frac{L}{y} \right)^{0.645} \quad (2.21)$$

Shen et al ( 1969 อ้างถึงใน Shen , 1971:23-8 ) ได้ทำการทดลองโดยใช้รางน้ำ 3 ชนิด

1. รางน้ำโดยใช้น้ำหมุนวน กว้าง 6 ฟุต ลึก 1.5 ฟุต และ ยาว 60 ฟุต ใช้ตอม่อกว้าง 0.5 ฟุต และ ใช้ทราย  $d_{50} = 0.24$  มม. และ 0.46 มม.
2. รางน้ำกว้าง 8 ฟุต และยาว 200 ฟุต ใช้ศึกษาผลกระทบของเนินทราย ( dunes ) ต่อหลุมกัดเซาะ ใช้เครื่องหาความลึกโดยใช้คลื่นเสียงเคลื่อนที่ไปตามรางน้ำและใช้หารูปตัดตามยาวของท้องรางน้ำ ตอม่อกว้าง 0.896 ฟุต และใช้ทราย  $d_{50} = 0.24$  มม. และ 0.46 มม.
3. รางน้ำโดยใช้น้ำหมุนวนลึก 5 ฟุต ยาว 180 ฟุต ใช้ทราย  $d_{50} = 0.46$  มม.

จากผลการทดลองของ Shen สรุปได้ดังนี้

1. ค่าเรย์โนลด์ส์นัมเบอร์ที่ตอม่อ ( $R_p = \frac{\bar{u}b}{\nu}$ ) มีความสำคัญในการอธิบายขบวนการกัดเซาะ
2. สมการ  $S_o = 0.222R_p^{0.819}$  มีวัตถุประสงค์เพื่อเป็นหลักเกณฑ์ในการออกแบบสำหรับประมาณค่าความลึกการกัดเซาะที่เป็นไปได้ ,  $S_o$  เป็นความลึกการกัดเซาะสมมูลมีหน่วยเป็นเซนติเมตร.
3. ถ้าลักษณะท้องน้ำเป็นเนินทราย ที่ความเร็วออกแบบ ประมาณครึ่งหนึ่งของความสูงของเนินทรายจะถูกพิจารณา เพื่อที่จะประมาณค่าความลึกการกัดเซาะสมมูลจนถึงความลึกสูงสุดที่เป็นไปได้

Maza Alvarez และ Sanchez ( 1964 อ้างถึงใน Simons, 1977:689 ) ได้ปรับปรุงสมการของ Jaroslavitiv (1960) มีรายละเอียดดังนี้

$$\frac{S}{b} = k_1 k_2 \frac{U^2}{gb} - \frac{30Dg}{b} \quad (2.22)$$

เมื่อ  $k_1$  และ  $k_2$  คือค่าพารามิเตอร์ดังตาราง 2-1 และตาราง 2-2

ตาราง 2-1 ค่าสัมประสิทธิ์  $k_1$ 

รูปร่างต่อม่อ	$k_1$					
	$\beta =$	$0^\circ$	$10^\circ$	$20^\circ$	$30^\circ$	$40^\circ$
รูปทรงวงกลม		10				
รูปทรงเหลี่ยม		8.5	8.7	9.0	10.3	11.3

ตาราง 2-2 ค่าสัมประสิทธิ์  $k_2$  (\*)

		$k_2$			
$\frac{d_1}{b}$	$\frac{v^2}{gb}$	0.25	0.15	0.10	0.04
1.8		0.75	0.95	1.15	1.40
2.2		0.75	0.95	1.10	1.35
2.6		0.75	0.90	1.10	1.30
3.0		0.75	0.90	1.10	1.30

(\*) ค่าสัมประสิทธิ์  $k_2$  เป็นค่าโดยประมาณ

Breusers ( 1965 ) ได้แนะนำสมการการกัดเซาะดังนี้

$$d_{se} = 1.4 b \quad (2.23)$$

เมื่อ  $b$  คือลักษณะทางเรขาคณิตของต่อม่อ ซึ่งสมการดังกล่าวมีความคล้ายคลึงกับสมการของ Larras ( 1963 ) Larras ได้พบว่าความลึกการกัดเซาะสามารถหาได้จากสมการในรูปของความกว้างต่อม่อ

$$d_{sm} = 1.42 kb^{0.75} \quad (2.24)$$

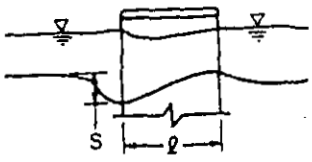
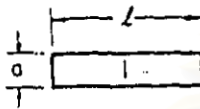
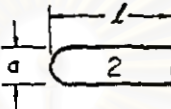
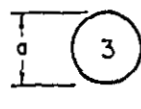
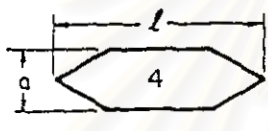
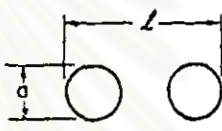
เมื่อ  $b$  คือขนาดต่อม่อ ,  $k = 1$  สำหรับต่อม่อรูปวงกลม ,  $k = 1.4$  สำหรับต่อม่อรูปทรงเหลี่ยมและมุมการไหลปะทะต่อม่อ ( $\beta$ ) =  $0^\circ$

ส่วน Neil ( 1973 ) ได้สรุปสูตรทั่วไปสำหรับต่อม่อรูปทรงต่างๆดังสมการ

$$d_s = kb \quad (2.25)$$

ค่าสัมประสิทธิ์  $k$  เปลี่ยนแปลงตามรูปทรงของต่อม่อตามที่แสดงไว้ในตาราง 2-3

ตาราง 2-3 ค่าสัมประสิทธิ์ K สำหรับตอม่อที่วางขนานกับทิศทางการไหล(อ้างถึง Neil, 1973)

Pier Shape in Profile	Suggested Allowance for Local Scour	
	Pier 1 = 2.0 Pier 2 = 1.5 Pier 3 = 1.5 Pier 4 = 1.2	
 <p>a) Square-nose</p>	 <p>b) Round-nose</p>	 <p>c) Cylinder</p>
 <p>d) Sharp-nose</p>	 <p>e) Group of Cylinders</p>	

Coleman (1971) ได้แนะนำค่าปรับแก้ระหว่าง 2 พารามิเตอร์คือค่าเลขกัดเซาะของออยเลอร์ (Scour Euler Number) =  $\frac{U}{\sqrt{2gS}}$  และค่าเรย์โนลด์นัมเบอร์ (Reynold Number) =  $\frac{\rho UL}{\mu}$  เพื่อที่จะทำนายการกัดเซาะดังนี้

$$\frac{U}{\sqrt{2gS}} = A \left( \frac{\rho Ub}{\mu} \right)^{9/10} \quad (2.26)$$

เมื่อ

$$A = 0.6 \left( \frac{\mu}{\rho g^{1/2} b^{3/2}} \right)^{9/10}$$

ซึ่งค่า A เป็นค่าในสมการการกัดเซาะสูงสุด

$$\frac{U}{\sqrt{2gS}} = 0.6 \left( \frac{U}{\sqrt{gb}} \right)^{9/10} \quad \text{หรือ}$$

$$d_s = 1.49 b^{9/10} \left( \frac{U^2}{2g} \right)^{1/10} \quad (2.27)$$

ถ้า  $U^2/2g = 1$ ,  $b^{9/10} \approx b$  และ 1.49 แทนด้วย 1.4 สำหรับตอม่อสี่เหลี่ยมผืนผ้า จะได้ความสัมพันธ์ความลึกการกัดเซาะดังนี้  $S = 1.4 b$  ซึ่งก็เป็นสมการของ Breusers นั้นเอง

Jain และ Fisher ( 1979 ) ได้สรุปว่า ความลึกการกัดเซาะรอบตอม่อวงกลมในทางน้ำที่มีการพัดพาตะกอนเริ่มแรกลดลงและเพิ่มขึ้นตามการเพิ่มขึ้นของ Froude Number ลักษณะของห้องน้ำช่วยให้เกิดการกัดเซาะจนถึงการกัดเซาะสูงสุดและทวีความสำคัญตามความเร็วการไหลที่สูงขึ้น ดังสมการดังนี้

$$\frac{d_{sm}}{L} = 1.84 Fr^{0.25} \left( \frac{y}{L} \right)^{0.3} \quad (2.28)$$

เมื่อ  $d_{sm}$  คือ ความลึกกัดเซาะสูงสุด ;  $y$  คือความลึกการไหล ;  $Fr$  คือค่าฟรูดนัมเบอร์ ;  $L$  คือ projected length สำหรับการกัดเซาะสูงสุดโดยภาวะที่ไม่มีการเคลื่อนที่ของตะกอนห้องน้ำ ( clear-water )

Chen A Han ( 1980 ) ได้ทำการทดลองหาขนาดของหลุมกัดเซาะรอบตอม่อสะพานทรงกลม ณ ห้องปฏิบัติการชลศาสตร์ สถาบันเทคโนโลยีแห่งเอเชีย ( AIT ) โดยใช้ทราย 2 ขนาด ได้แก่  $d_{50} = 1.12$  มม. ,  $\sigma_g = 1.24$  ,  $\phi = 32$  และ  $d_{50} = 0.30$  มม. ,  $\sigma_g = 2.04$  ,  $\phi = 29$  และใช้ตอม่อรูปทรงกระบอก 3 ขนาด ในการทดลองเป็นสภาวะเงื่อนไข live-bed ผลการศึกษาแสดงให้เห็นว่าขนาดตะกอนมีผลกระทบต่อความลึกหลุมกัดเซาะ ซึ่งจากการศึกษาที่ผ่านมาผลการศึกษาของผู้ศึกษาหลายท่านพบว่าขนาดของตะกอนไม่มีผลกระทบต่อความลึกหลุมกัดเซาะ และได้ให้สูตรการทำนายความลึกหลุมกัดเซาะในภาวะที่มีการเคลื่อนที่ของตะกอนห้องน้ำ โดยมีความสัมพันธ์ของขนาดตะกอน ดังสมการ 2.29 และ 2.30

$$d_{max} = \left[ 2.27 - 0.45 \log \left( \frac{b}{D_{50}} \right) \right] d_{se} \quad \text{For } \frac{b}{D_{50}} \leq 650 \quad (2.29)$$

$$d_{max} = d_{se} \quad \text{For } \frac{b}{D_{50}} > 650 \quad (2.30)$$

$$\text{เมื่อ } d_{50} = 1.27b^{0.83} \left( \frac{\bar{V}^2}{2g} \right)^{0.17}$$

$d_{max}$  คือความลึกหลุมกัดเซาะสูงสุด ,  $d_{50}$  คือความลึกหลุมกัดเซาะสมมูล ,  $b$  คือความกว้างของตอม่อ ,  $\frac{\bar{V}^2}{2g}$  คือ หัวความเร็ว ( velocity head )

Ruadkivi A.J. และ Ettema R. ( 1983 ) ได้ทำการทดลองการกัดเซาะรอบตอม่อทรงกระบอกภายใต้ภาวะที่ไม่มีการเคลื่อนที่ของตะกอนท้องน้ำ โดยใช้ทรายเป็นวัสดุท้องน้ำ ข้อมูลพื้นฐาน ความลึกสมมูลของการกัดเซาะมีความสัมพันธ์กับการกระจายขนาดของวัสดุท้องน้ำ ขนาดเฉลี่ยของวัสดุท้องน้ำ ขนาดเส้นผ่านศูนย์กลางของตอม่อ ความลึกการไหลมีความสัมพันธ์ทั้งขนาดตอม่อและขนาดวัสดุท้องน้ำ สรุปได้ดังนี้

1. ความลึกกัดเซาะสมมูลมีความสัมพันธ์กับขนาดวัสดุท้องน้ำ พบว่าการกระจายของวัสดุท้องน้ำเพิ่มขึ้น ความลึกกัดเซาะสมมูลจะลดลง
2. ความลึกสมมูลลดลงเมื่อขนาดเส้นผ่านศูนย์กลางของตอม่อลดลง
3. ความลึกสมมูลสูงสุดภายใต้ภาวะที่ไม่มีการเคลื่อนที่ของตะกอนท้องน้ำเป็นฟังก์ชันกับ  $y_0/D$  และ  $D/d_{50}$
4. ความลึกสมมูลลดลงในอัตรามากกว่าการลดลงของความลึกการไหล สำหรับค่าความลึกการไหลน้อยๆ  $Y_0/D$

Chang Sin Zee ( 1987 ) ได้ทำการทดลองหาขนาดของหลุมกัดเซาะรอบตอม่อสะพาน ณ ห้องปฏิบัติการชลศาสตร์ สถาบันเทคโนโลยีแห่งเอเชีย ( AIT ) โดยทำการศึกษากัดเซาะในภาวะที่ไม่มีการเคลื่อนที่ของตะกอนท้องน้ำและ Steady uniform state โดยใช้วัสดุท้องน้ำเป็น uniform sand 3 ขนาด ได้แก่ ทรายหยาบ  $d_{50} = 0.97$  มม. ,  $\sigma_g = 1.94$  ,  $\phi = 32.5$  , ทรายปานกลาง  $d_{50} = 0.43$  มม. ,  $\sigma_g = 1.61$  ,  $\phi = 29.0$  , ทรายละเอียด  $d_{50} = 0.19$  มม. ,  $\sigma_g = 1.47$  ,  $\phi = 26.5$  และใช้รูปทรงตอม่อสะพาน 2 แบบ ได้แก่ ตอม่อรูปทรงกระบอก (cylindrical piers) และ ตอม่อรูปสี่เหลี่ยมผืนผ้าปลายมน (blunt-nosed piers) และยังศึกษาคอบคลุมถึงขนาดของหลุมกัดเซาะอันเนื่องมาจากมุมในการปะทะของการวางตอม่อรูปสี่เหลี่ยมผืนผ้าปลายมนอีกด้วย

จากการศึกษาทางทฤษฎีและการวิเคราะห์ผลที่ได้จากการทดลอง พบว่า พื้นที่หลุมกัดเซาะรอบตอม่อสะพานขึ้นอยู่กับ รูปแบบการไหล ลักษณะการไหล ลักษณะของตอม่อ และขนาดของวัสดุท้องน้ำ ซึ่งจากการศึกษาได้สูตรในการทำนายพื้นที่หลุมกัดเซาะ ดังสมการ 2.31 และ 2.32



$$\frac{A_{sm}}{L^2} = 8.5(F_p)^{1.36} \left(\frac{D_{50}}{L}\right)^{-0.36} \quad (2.31)$$

หรือ

$$\frac{A_{sm}}{L^2} = 47F_p^{1.27} \left(\frac{D_{50}}{L}\right)^{-0.35} R_p^{-0.17} \quad (2.32)$$

$A_{sm}$  คือพื้นที่หลุมกัดเซาะสูงสุด ,  $F_p$  คือค่าฟรูดนัมเบอร์ของตอม่อ ( Froude Number at piers )  
 $= \frac{V}{\sqrt{gL}}$  ,  $R_p$  คือค่าเรย์โนลด์นัมเบอร์ของตอม่อ ( Reynolds Number at piers )  $= \frac{VL}{\nu}$  ,  $L$  คือ  
 Projected Length ของตอม่อ

นอกจากนี้ ยังศึกษาถึงการป้องกันการกัดเซาะ โดยหาสูตรพื้นที่เพื่อป้องกันการกัดเซาะทางด้านหน้าตอม่อ ซึ่งลักษณะหลุมกัดเซาะเป็นรูปครึ่งวงกลม ( semi-circular ) และทางด้านท้ายตอม่อ ซึ่งลักษณะหลุมกัดเซาะเป็นรูปครึ่งวงรี (semi-elliptical) ดังสมการ 2.32

$$A_p = 1200 L^2 (F_p)^{1.5} (R_p)^{-0.18} \quad (2.33)$$

$A_p$  คือพื้นที่หลุมกัดเซาะที่ใช้ในการออกแบบป้องกันการกัดเซาะ

Richardson et al ( 1987 อ้างถึงใน FHWA,1988:41 ) ได้ทำการรวบรวมข้อมูลความลึกหลุมกัดเซาะในห้องทดลองในภาวะการกัดเซาะที่ไม่มีการเคลื่อนที่ของตะกอนท้องน้ำและภาวะการกัดเซาะที่มีการเคลื่อนที่ของตะกอนท้องน้ำ เพื่อหาสูตรการทำนายความลึกหลุมกัดเซาะ ซึ่งเรียกว่าสมการ CSU ( The Colorado State University Equation )

$$\frac{d_s}{y} = 2.0k_1k_2 \left(\frac{b}{y}\right)^{0.65} Fr^{0.43} \quad (2.34)$$

$d_s$  คือความลึกหลุมกัดเซาะ ,  $y$  คือความลึกน้ำด้านหน้าตอม่อ ,  $k_1$  คือสัมประสิทธิ์ค่าปรับแก้รูปร่างตอม่อ ( correction for pier shape ) ,  $k_2$  คือ สัมประสิทธิ์ค่าปรับแก้มุมปะทะตอม่อ ( correction for angle of attack ) ,  $b$  คือความกว้างของตอม่อ ,  $Fr$  คือฟรูดนัมเบอร์ ( Froude Number )  $= V_1^2/(gy_1)^{0.5}$

ตาราง 2-4 ค่าสัมประสิทธิ์ปรับแก้ (  $K_1$  ) รูปร่างตอม่อ

รูปร่างตอม่อ	$K_1$
ตอม่อรูปสี่เหลี่ยม ( square nose )	1.1
ตอม่อปลายมน ( round nose )	1.0
ตอม่อรูปทรงกระบอก ( circular cylinder )	1.0
ตอม่อปลายแหลม ( sharp nose )	0.9
ตอม่อรูปทรงกระบอกเป็นกลุ่ม ( group of cylinder )	1.0

ตาราง 2-5 ค่าสัมประสิทธิ์ปรับแก้ (  $K_2$  ) มุมปะทะตอม่อกับทิศทางการไหลของน้ำ

$\theta$	$L/a = 4$	$L/a = 8$	$L/a = 12$
0	1.0	1.0	1.0
15	1.5	2.0	2.5
30	2.0	2.5	3.5
45	2.3	3.3	4.3
90	2.5	3.9	5.0

หมายเหตุ  $\theta$  = มุมที่ตอม่อกระทำกับทิศทางการไหลของน้ำ  
 $L$  = ความยาวของตอม่อ

Nandana Vittal , U.C.Kothyari และ Morteza Haghghat ( 1994 ) ได้ทำการทดลองการกัดเซาะรอบตอม่อกลุ่มภายใต้สภาวะที่ไม่มี การเคลื่อนที่ของตะกอนท้องน้ำที่อัตราการไหลต่ำ โดยใช้ขนาดตะกอนสม่ำเสมอ ใส่ในรางน้ำยาว 25 เมตร กว้าง 1 เมตร และลึก 0.30 เมตร กำหนดความลาดชันท้องน้ำ  $S_0 = 7.83 \times 10^{-4}$  พบว่าลักษณะตอม่อจมน้ำ ( full pier group ) จะมีอัตราการกัดเซาะลดลงประมาณ 40-75 % ของตอม่อจมน้ำบางส่วน ( partial pier group ) และตอม่อวางทำมุม  $30^\circ$  กับทิศทางการไหลจะให้ผลการกัดเซาะต่ำสุด

พรมงคล ชิดชอบ ( 1998 ) ได้ศึกษาพฤติกรรมการกัดเซาะรอบตอม่อสะพาน อันเนื่องมาจากวัสดุท้องน้ำเป็นทรายธรรมชาตินำมาคละกัน โดยแบ่งการศึกษาออกเป็น 2 กรณี คือ สภาวะเงื่อนไข clear-water และสภาวะเงื่อนไข live-bed โดยใช้แบบจำลองตอม่อรูปทรงกระบอก 3 ขนาด ในการศึกษาที่สภาวะ clear-water และ live-bed ให้แบบจำลองตอม่อรูปสี่เหลี่ยมผืนผ้าปลายมน ซึ่งมีอัตราส่วน 3 อัตราส่วน ในการศึกษาที่สภาวะ clear-water จากการศึกษาพบว่า ตัวแปรที่มีอิทธิพลต่อหลุม

กีดเซาะในสภาวะเงื่อนไข clear-water ได้แก่ รูปร่าง ขนาด มุมการไหลปะทะตอม่อ ความลึกการไหล ความเร็วการไหลเฉลี่ย ขนาดของวัสดุท้องน้ำ และการกระจายตัวของวัสดุท้องน้ำ และในสภาวะเงื่อนไข live-bed ตัวแปรที่มีอิทธิพลต่อหลุมกัดเซาะ ได้แก่ รูปร่าง ขนาดตอม่อ มุมการไหลปะทะตอม่อ และวัสดุท้องน้ำ

Robert Ettema , Bruce W. Melville and Brian Barkdoll ( 1998 ) ได้ศึกษามลกระทบของความกว้างตอม่อที่มีอิทธิพลต่อความลึกหลุมกัดเซาะเฉพาะแห่ง พบว่า ความลึกหลุมกัดเซาะไม่มีความสัมพันธ์เชิงเส้นตรง กับความกว้างตอม่อ โดยไม่ได้เปรียบเทียบรูปร่างตอม่อ การไหล และวัสดุท้องน้ำ ซึ่งการศึกษาครั้งนี้ศึกษาในรางน้ำ และเป็นการยากที่จะเก็บข้อมูลในสนาม แต่จากการศึกษาในห้องปฏิบัติการชลศาสตร์ พบที่จะเป็นแนวทางในการคาดคะเนหลุมกัดเซาะต่อไป การศึกษานี้ได้พิจารณาความสัมพันธ์ของตัวแปรต่างๆ กับความลึกหลุมกัดเซาะ ดังนี้

$$d_s = f(\rho, \mu, u, y, g, d, U_c, D) \quad (2.35)$$

และใช้ทฤษฎีวิเคราะห์มิติ จะได้ ความสัมพันธ์ดังนี้

$$\frac{d_s}{D} = \phi\left(\frac{U}{U_c}, \frac{u^2}{gD}, \frac{y}{D}, \frac{D}{d}, \frac{\rho u D}{\mu}\right) \quad (2.36)$$

ซึ่งได้สมการดังนี้

$$\frac{d_s}{D} = \left(\frac{y}{D}\right)^{0.62} Fr^{0.2} \left(\frac{D}{d}\right)^{0.08} \quad (2.37)$$

Martin Vide J.P. Hidalgo C. และ Bateman A. ( 1998 ) ได้ศึกษาการกัดเซาะเฉพาะแห่งรอบตอม่อสะพานรูปสี่เหลี่ยมผืนผ้าที่ตั้งอยู่บนเสาเข็มรูปทรงกระบอก 2 ต้น โดยพิจารณาถึงผลกระทบของเสาเข็มที่มีท้องน้ำระดับต่างๆกัน ซึ่งทดลองในสภาวะ clear-water โดยกำหนดวัสดุท้องน้ำมีลักษณะขนาดสม่ำเสมอ และเฉลี่ยความกว้างของตอม่อ เมื่อตอม่อมีรูปทรงไม่เท่ากันตลอดตอม่อ 3 วิธี ดังนี้

วิธีที่ 1  $a = a_1(1-n) + a_2 n \quad (2.38)$

เมื่อ  $a_1$  คือ ความกว้างของตอม่อ ,  $a_2$  คือ ความกว้างเสาเข็ม ,  $n = N/25.4$  ,  $N$  คือ ระดับท้องน้ำจนถึงระดับขอบล่างของตอม่อ

วิธีที่ 2 
$$a = a_1 \int_0^{1-n} f(s)ds + a_2 \int_{1-n}^{1+ys} f(s)ds \tag{2.39}$$

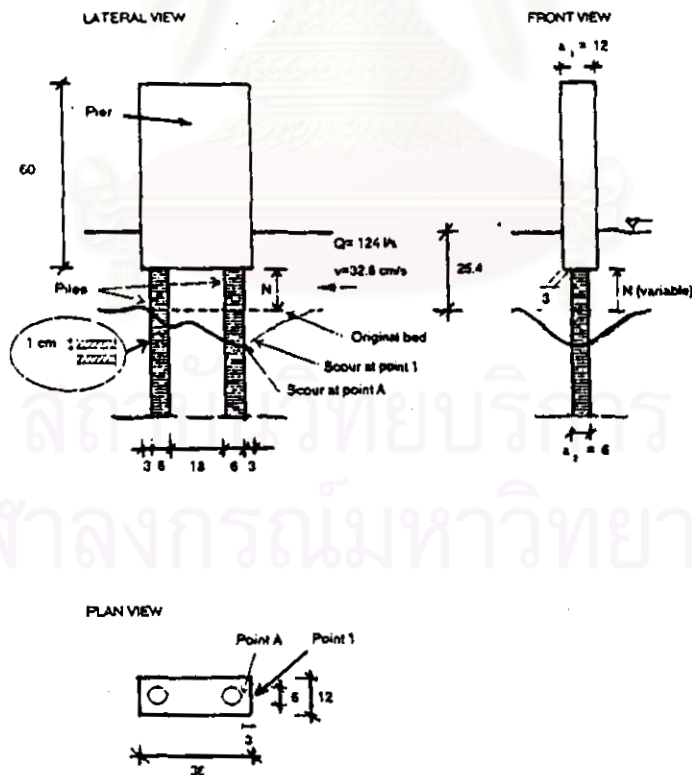
เมื่อ  $f(s)$  คือ weight function เมื่อเทียบกับพื้นที่ทั้งหมดเท่ากับ 1

วิธีที่ 3 
$$a = 0.52 [ a_1(1-n) + a_2n ] + 0.48 a_2 \tag{2.40}$$

จากการศึกษาใช้สมการ Colorado State University ( CSU )

$$d_s = 2.0k_1k_2 a^{0.65} y^{0.35} Fr^{0.43} \tag{2.41}$$

เมื่อ  $k_1$  และ  $k_2$  คือ แฟคเตอร์รูปร่างและมุมการไหลปะทะตอม่อ ,  $y$  คือความลึกการไหล ,  $Fr$  คือค่าฟรูดนัมเบอร์ ,  $a$  คือ ความกว้างเฉลี่ยของตอม่อ จากการศึกษพบว่า วิธีที่ 3 เป็นวิธีที่เหมาะสมวิธีหนึ่งในการคาดคะเนความลึกหลุมกัดเซาะ



รูป 2-4 ลักษณะรูปทรงเรขาคณิตของ pier-piles group ที่ใช้ในการทดลอง